

# Perturbações orbitais

---

**Leandro Baroni**

[leandro.baroni@ufabc.edu.br](mailto:leandro.baroni@ufabc.edu.br)

Laboratório de guiagem, navegação e controle

Problema 1 – Aula 4



Universidade Federal do ABC

$$U(r, \lambda, \Phi) = \frac{\mu}{r} \sum_{n=0}^{\infty} \sum_{m=0}^n \left(\frac{a_e}{r}\right)^n (C_{nm} \cos m\lambda + S_{nm} \sin m\lambda) P_{nm}(\sin \Phi)$$

- $C_{nm}$  e  $S_{nm}$  são coeficientes dos harmônicos esféricos
- $\mu$  é a constante geogravitacional ( $\approx 3,986 \cdot 10^5 \text{ km}^3/\text{s}^2$ )
- $a_e$  é o raio equatorial da Terra
- O potencial é avaliado no ponto localizado pelo módulo do raio vetor (distância)  $r$ , pela latitude geocêntrica  $\Phi$  e pela longitude geocêntrica  $\lambda$
- $P_{nm}$  são polinômios associados de Legendre
- H. K. Kuga; V. Carrara; K. R. Rao. *Satélites artificiais – Movimento orbital*. São José dos Campos: INPE, 2011.

# Potencial gravitacional terrestre

- Separar a somatória em suas diversas componentes:

$$U = \frac{\mu}{r} -$$

Potencial do corpo central

$$- \frac{\mu}{r} \sum_{n=2}^N \left( \frac{a_e}{r} \right)^n \bar{J}_n \bar{P}_n(\sin \Phi) +$$

Coefficientes zonais ( $m = 0$ )

$$+ \frac{\mu}{r} \sum_{n=2}^N \sum_{m=1}^n \left( \frac{a_e}{r} \right)^n (\bar{C}_{nm} \cos m\lambda + \bar{S}_{nm} \sin m\lambda) \bar{P}_{nm}(\sin \Phi)$$

Coefficientes tesserais

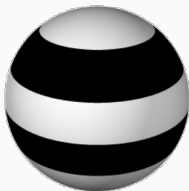


Figura 2.6 – Harmônicos zonais

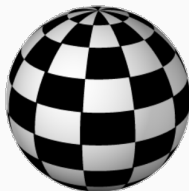


Figura 2.7 – Harmônicos tesserais

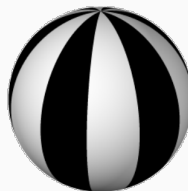


Figura 2.8 – Harmônicos setoriais

# Potencial gravitacional terrestre

	$n = 1$	2	3	4	5		$n = 6$	7	8	9	10
$m = 0$						$m = 0$					
1						1					
2						2					
3						3					
4						4					
5						5					
						6					
						7					
						8					
						9					
						10					

# Potencial gravitacional terrestre

- Coeficientes normalizados (GEM-09):
  - Zonais ( $10^{-6}$ ):

$n$	$\bar{C}_{n0} = -\bar{J}_n$
1	0
2	-484,16555
3	0,95848

- Tesserais ( $10^{-6}$ ):

$n$	$m$	$\bar{C}_{nm}$	$\bar{S}_{nm}$
1	1	0	0
2	1	-0,00021	-0,00406
2	2	2,4340	-1,39786
3	1	2,02826	0,25244
3	2	0,89198	-0,62241
3	3	0,70256	1,41140

- O harmônico zonal  $J_2$  é o termo mais significativo
- Os harmônicos zonais são termos que não dependem da longitude
  - Descrevem um campo simétrico em relação ao eixo polar  $O_z$
- $J_2 = 1,08263 \cdot 10^{-3}$  (não normalizado)

$$U_{J_2} = -J_2 \frac{\mu}{r} \left( \frac{a_e}{r} \right)^2 \left( \frac{3 \sin^2 \Phi - 1}{2} \right) \quad (\text{coordenadas esféricas})$$

$$= -\mu a_e^2 \left[ \frac{J_2}{2} \left( \frac{3z^2}{(x^2 + y^2 + z^2)^{5/2}} - 1 \right) \right] \quad (\text{coordenadas retangulares})$$

- Força por unidade de massa devido ao achatamento  $J_2$ :

$$a_{J_2,x} = \frac{3}{2}J_2\mu \left(\frac{a_e}{r}\right)^2 \left[ \left( \frac{5z^2}{x^2 + y^2 + z^2} - 1 \right) \frac{x}{r^3} \right]$$

$$a_{J_2,y} = \frac{3}{2}J_2\mu \left(\frac{a_e}{r}\right)^2 \left[ \left( \frac{5z^2}{x^2 + y^2 + z^2} - 1 \right) \frac{y}{r^3} \right]$$

$$a_{J_2,z} = \frac{3}{2}J_2\mu \left(\frac{a_e}{r}\right)^2 \left[ \left( \frac{5z^2}{x^2 + y^2 + z^2} - 3 \right) \frac{z}{r^3} \right]$$

- Tiago Pôrto Brito. *Estudo da evolução de detritos espaciais sujeitos às perturbações do potencial terrestre,  $J_2$  e  $J_{22}$ , luni-solar, pressão de radiação solar e do arrasto atmosférico*. Dissertação (Mestrado) – UFABC, Programa de Pós-Graduação em Engenharia Mecânica, 2019

- Da equação (1) da aula 1:

$$\sum \vec{F}_{\text{ext}} = \vec{F}_g + \vec{F}_{J_2} = m\vec{a}$$

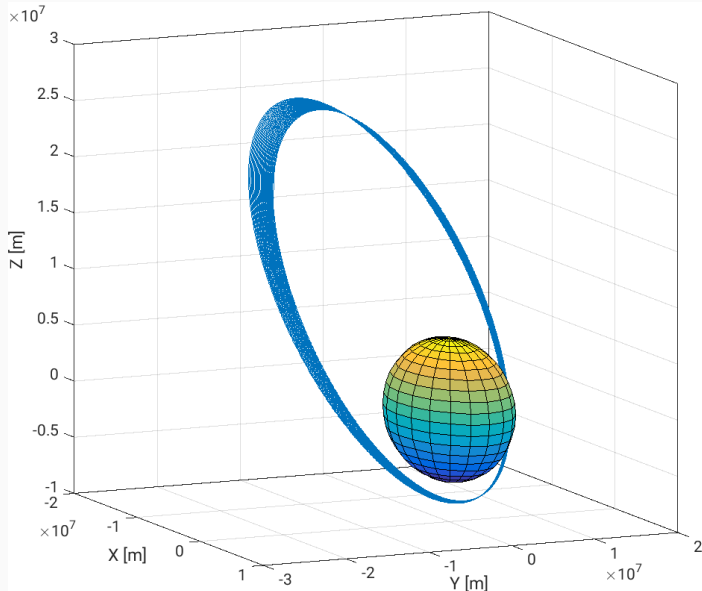
- Assim,

$$\ddot{\vec{r}} = -\frac{\mu}{r^2} \frac{\vec{r}}{r} + \vec{a}_{J_2} \quad \text{ou} \quad \ddot{\vec{r}} + \frac{\mu}{r^3} \vec{r} = \vec{a}_{J_2}$$

- EDO não linear de ordem 2
- Solução por integração numérica



## Movimento orbital com o efeito do coeficiente $J_2$



# Equações planetárias de Lagrange

- Corpo sujeito somente à atração gravitacional do corpo central → movimento kepleriano (elementos orbitais são constantes)
- Quando perturbações orbitais são consideradas, estes elementos variam no tempo → equações planetárias de Lagrange

$$\frac{da}{dt} = \frac{2}{na} \frac{\partial R}{\partial M}$$

$$\frac{de}{dt} = \frac{1 - e^2}{na^2 e} \frac{\partial R}{\partial M} - \frac{\sqrt{1 - e^2}}{na^2 e} \frac{\partial R}{\partial \omega}$$

$$\frac{di}{dt} = \frac{-1}{na^2 \sqrt{1 - e^2} \sin i} \frac{\partial R}{\partial \Omega} + \frac{\cos i}{na^2 \sqrt{1 - e^2} \sin i} \frac{\partial R}{\partial \omega}$$

$$\frac{d\omega}{dt} = \frac{\sqrt{1 - e^2}}{na^2 e} \frac{\partial R}{\partial e} - \frac{\cos i}{na^2 \sqrt{1 - e^2} \sin i} \frac{\partial R}{\partial i}$$

$$\frac{d\Omega}{dt} = \frac{1}{na^2 \sqrt{1 - e^2} \sin i} \frac{\partial R}{\partial i}$$

$$\frac{dM}{dt} = n - \frac{2}{na} \frac{\partial R}{\partial a} - \frac{1 - e^2}{na^2 e} \frac{\partial R}{\partial e}$$

- $R$  é a função perturbadora ( $U = R$ )
  - Forças perturbativas derivadas de um potencial

# Equações planetárias de Lagrange

- Potencial devido ao coeficiente  $J_2$

$$U_{J_2} = \mu J_2 \frac{a_e^2}{a^3} \left( \frac{1}{2} - \frac{3}{4} \sin^2 i \right) (1 - e^2)^{-3/2}$$

$$\frac{da}{dt} = 0$$

$$\frac{de}{dt} = 0$$

$$\frac{di}{dt} = 0$$

$$\frac{d\omega}{dt} = \frac{nJ_2}{(1 - e^2)^2} \left( \frac{a_e}{a} \right)^2 \left( 3 - \frac{15}{4} \sin^2 i \right)$$

$$\frac{d\Omega}{dt} = -\frac{3}{2} \frac{nJ_2}{(1 - e^2)^2} \left( \frac{a_e}{a} \right)^2 \cos i$$

$$\frac{dM}{dt} = n + 3 \frac{nJ_2}{(1 - e^2)^{3/2}} \left( \frac{a_e}{a} \right)^2 \left( \frac{1}{2} - \frac{3}{4} \sin^2 i \right)$$

- Maria Livia Galhego T. X. da Costa. *Cálculo da variação dos elementos orbitais de satélites lunares devido à distribuição não uniforme de massa da Lua*. Relatório final, INPE, 2013.
- Thaís Helena Oliveira Ferreira. *Satélites artificiais: perturbações orbitais*. Relatório final, INPE, 2018.

- Modelo SGP4
  - Simplificação dos modelos gravitacional e atmosférico
- Modelo SDP4
  - Extensão do SGP4 a ser usado em satélites de espaço profundo
- Modelo SGP8
  - Integra as equações diferenciais de uma maneira muito diferente do SGP4
- Modelo SDP8
  - Extensão do SGP8 a ser usado em satélites de espaço profundo
- Compatíveis com TLE
- Documentação é códigos:
  - <https://celestrak.org/NORAD/documentation/>
  - <https://celestrak.org/publications/AIAA/2006-6753/>
  - Python – <https://pypi.org/project/sgp4/>